



ساخت نانو حامل‌های نیوزومی حاوی عصاره آبی *Hedera helix* و مقایسه سمیت عصاره آزاد و عصاره نیوزومه بر رده سلولی HT29 سرطان کولون

فاطمه پرنیان^۱، سیدحسین حکمتی مقدم^۲، محمد مجیدی زاده^۳، علی جباری^۴، بی‌بی فاطمه حقیرالسادات^۵

- ۱- کارشناسی ارشد زیست فناوری پزشکی- گروه زیست فناوری- پردیس بین‌الملل دانشگاه علوم پزشکی شهید صدوقی یزد- یزد- ایران.
- ۲- دانشیار- گروه علوم آزمایشگاهی- دانشکده پیراپزشکی- دانشگاه علوم پزشکی شهید صدوقی یزد- یزد- ایران.
- ۳- کارشناسی ارشد زیست‌شناسی سلولی و مولکولی- گروه زیست فناوری- شرکت ریز زیست فناوران فردانگر- پارک علم و فناوری یزد- یزد- ایران.
- ۴- استادیار- گروه علوم آزمایشگاهی- دانشکده پیراپزشکی- دانشگاه علوم پزشکی شهید صدوقی یزد- یزد- ایران.
- ۵- استادیار- مرکز تحقیقات نانوکولوژی پزشکی و مهندسی بافت- پژوهشکده علوم تولید مثل- دانشگاه علوم پزشکی شهید صدوقی یزد- یزد- ایران.
- ۶- گروه علوم و فنون نوین- دانشکده پیراپزشکی- دانشگاه علوم پزشکی شهید صدوقی یزد- یزد- ایران.

تاریخ دریافت: ۱۳۹۹/۰۴/۲۸، تاریخ پذیرش: ۱۳۹۹/۰۹/۰۸

چکیده

مقدمه: نیوزوم حاملی لیپیدی هست که می‌تواند برخی چالش‌های پیش روی رسانش داروهای گیاهی به بافت‌ها را برطرف نماید. هدف از پژوهش حاضر ساخت و بررسی فیزیوشیمیایی نانو حامل‌های نیوزومی حاوی عصاره عشقه و ارزیابی سمیت آن بر رده سلولی HT29 سرطان کولون است.

مواد و روش‌ها: دو فرمولاسیون نیوزومی F0 (۳۰ درصد کلسترول و ۷۰ درصد توئین) و F1 (۳۰ درصد اسپن ۶۰ و ۷۰ درصد اسپن ۴۰) حاوی عصاره عشقه با استفاده از روش فیلم لایه نازک ساخته شد. سپس با توجه به میزان بارگذاری دارو، یکی از فرمولاسیون‌ها انتخاب گردید. الگوی رهایش دارو در شرایط سلول سالم و سرطانی، اندازه و بار سطحی نانو ذرات (با استفاده از DLS) و شکل ظاهری نانو ذرات (با استفاده از SEM) فرمولاسیون منتخب بررسی شد. در پایان سمیت سامانه نیوزومی حاوی عصاره و عصاره آزاد بر رده سلولی MTT با استفاده از روش HT29 بررسی شد و ورود سامانه نیوزومی به سلول‌های HT29 با استفاده از رنگ آمیزی سامانه و سلول، مورد بررسی قرار گرفت.

نتایج: درصد بارگذاری عصاره، اندازه و پتانسیل زتا برای فرمولاسیون منتخب (F1) به ترتیب ۴۱/۴۷±۲/۶۹mV، ۹۵/۴۳±۲/۴۳ درصد، ۱۳۲/۵nm و رهایش دارو از سامانه نیوزومی طی ۴۸ ساعت در شرایط سلول سالم و سرطانی آهسته می‌باشد. شکل ظاهری نانو ذرات صاف و کروی بوده و عصاره نیوزومه در مقایسه با عصاره آزاد سمیت بیشتری بر روی رده سلولی HT29 سرطان کولون داشته است.

نتیجه‌گیری: فرمولاسیون نیوزومی حاصل از پژوهش حاضر را با توجه به برخورداری از ویژگی‌های فیزیوشیمیایی مناسب، می‌توان جهت انجام تحقیقات بیشتر در زمینه سرطان کولون پیشنهاد نمود.

واژه‌های کلیدی: نیوزوم، نانو حامل، سرطان کولون، رده سلولی HT29، عصاره *Hedera helix*.

نویسنده مسئول: یزد- دانشگاه علوم پزشکی شهید صدوقی- گروه علوم و فنون نوین پزشکی، تلفن: ۹۱۳۲۵۰۷۱۵۸، نامبر: ۹۱۳۲۵۰۷۱۵۸، E-mail: Fhaghirosadat@gmail.com

ارجاع: پرنیان فاطمه، حکمتی مقدم سیدحسین، مجیدی زاده محمد، جباری علی، حقیرالسادات بی‌بی فاطمه. ساخت نانو حامل‌های نیوزومی حاوی عصاره آبی *Hedera helix* و مقایسه سمیت عصاره آزاد و عصاره نیوزومه بر رده سلولی HT29 سرطان کولون. مجله دانش و تدرستی در علوم پایه پزشکی ۱۳۹۹؛ ۱۵(۳): ۴۵-۳۱.

مقدمه

ساقه این گیاه، چوبی و در برش عرضی آن همانند بسیاری از گیاهان دولیه به ترتیب از خارج به داخل، روپوست، بافت کلانشیمی، بافت پارانشیم، درون پوست و استوانه مرکزی قابل مشاهده می‌باشد (۱۶). بررسی‌های فیتوشیمیابی نشان می‌دهد که در عصاره گیاهان جنس عشقه ترکیبات شیمیابی نظیر آکالاوتیدها، فلاونوئیدها، ساپونین‌ها وجود دارد که برخی از آنها دارای خواص بیولوژیکی فراوانی از جمله ویژگی‌های آنتی‌اکسیدان و ضدتوموری هستند (۲۲-۲۷). هرچند امروزه به دلیل آشکار شدن اثرات جانبی فراوان ترکیبات دارویی صنعتی، استفاده از ترکیبات گیاهی گسترش چشمگیری نموده است، ولی استفاده از گیاهان و ترکیبات آن با چالش‌هایی نظیر اثرگذاری پایین بر بافت‌های هدف و اکسیدپذیری بالا روبرو است (۲۱ و ۲۲). بنابراین استفاده از حامل‌هایی که بتواند مشکلات موجود در استفاده از ترکیبات گیاهی را برطرف و یا کاهش دهد، ضرورتی اجتناب‌ناپذیر است.

نیوزوم‌ها حامل‌هایی در مقیاس نانو هستند که که توانایی انباشته کردن طیف وسیعی از داروهای آب دوست، آب گریز و دوگانه دوست را دارند. این حامل‌های دارویی که از خود تجمعی سورفکتان‌های غیر یونی در محیط آبی، شکل می‌گیرند و ساختاری دو لایه را ایجاد می‌کنند، باعث هدایت اختصاصی‌تر دارو به بافت هدف نظیر تومورها و بافت‌های التهابی شده، در نتیجه غلظت تجمیعی و تأثیر درمانی دارو افزایش یافته و عوارض جانبی کاهش پیدا می‌کند. تهیه و ذخیره‌سازی آسان، زیست تخریب‌پذیری، زیست سازگاری، غیر ایمنوژن بودن، آزاد سازی کنترل شده‌ی دارو و افزایش پایداری دارو از جمله مزایای این نانوحامل می‌باشد (۲۵-۲۳).

هدف از پژوهش حاضر طراحی و ساخت نانوحامل‌های نیوزومی حاوی عصاره Hedera helix می‌باشد که طی آن این سامانه‌های حاوی عصاره از منظر میزان درون‌گیری دارو، الگوی رهایش ۴۸ ساعته، اندازه ذرات، بار سطحی (پتانسیل زتا)، شکل ظاهری مورد بررسی قرار گرفته و در پایان میزان سمیت عصاره‌ی آزاد و نانو‌نیوزوم‌های حاوی عصاره و بر رده‌ی سلولی HT29 سرطان کولون ارزیابی شده است.

مواد و روش‌ها

پژوهش حاضر نوعی مطالعه‌ی آزمایشگاهی بوده که در دانشگاه علوم پزشکی شهید صدوقی یزد با کد اخلاقی REC.1395.296 IR.SSU.MEDICINE به انجام رسیده است.

الف) مواد شیمیابی
تowین ۰۰ اسپن ۰۰، کلسترول و ایزوپروپیل، کلروفرم متعلق به شرکت Merck آلمان و قرص phosphate buffered

سرطان بیماری کشنده‌ای است که بر اثر رشد و تقسیم غیرعادی سلول‌ها در پی تغییرات ژنتیکی ایجاد می‌شود (۱). این بیماری در کشورهای توسعه‌یافته دومین عامل مرگ و میر و در کشورهای کمتر توسعه‌یافته، سومین عامل مرگ و میر افراد به شمار می‌آید (۲). سرطان کولون نیز یکی از سرطان‌های شایع دستگاه گوارش است که سالیانه در سرتاسر جهان حدود یک میلیون مورد جدید ابتلا به این سرطان شناسایی می‌شود که حدود نیمی از آنها به مرگ متنه می‌شود (۳)، به گونه‌ای که در سال ۲۰۰۸ حدود ۲۰۰۸ میلیون مورد جدید از ابتلا به این بیماری در دنیا شناسایی و حدود ۶۰۰ هزار مورد مرگ ناشی از این بیماری گزارش شده است (۴). بررسی‌های آماری نشان می‌دهد که شیوع بیماری سرطان کولون در کشورهای توسعه‌یافته نسبت به کشورهای دیگر بیشتر می‌باشد (۴ و ۵). سرطان کولون هرچند در ایران از شیوع بالایی برخوردار نیست، ولی میانگین سن ابتلا به آن در ایران نسبت به میانگین جهانی پایین‌تر می‌باشد (۶ و ۷). این بدخیمی در ابتلا نمودن مردان و زنان ایرانی به سرطان، به ترتیب رتبه‌ی سوم و چهارم را به خود اختصاص داده است (۸). افزایش سن، بیماری‌های التهاب روده، کمبود فیبرهای غذایی، سابقه ادنوم، سندروم‌های پولیپوز و غیره از جمله فاکتورهای افزایش‌دهنده‌ی خطر ابتلا به سرطان کولون است (۹ و ۱۰). در درمان بیماری سرطان کولون با توجه به مرحله و میزان گسترش آن به طور کلی از روش‌هایی نظیر جراحی، پرتو درمانی و شیمی درمانی استفاده می‌شود (۱۱). در شیمی درمانی برای درمان سرطان کولون معمولاً از داروهایی با پایه ۵-فلوراوراسیل (FU-5) استفاده می‌شود که با از از بین بردن سلول‌های سرطانی از پیشرفت این بیماری جلوگیری می‌کند (۱۲ و ۱۳). هرچند این داروها معمولاً از گسترش سرطان جلوگیری می‌کنند، ولی با ایجاد عوارض جانبی نظیر تهوع، زخم‌های دهانی، اسهال، استفراغ و کم اشتیابی از کیفیت زندگی افراد مبتلا به سرطان طی شیمی درمانی می‌کاهمند (۱۴). ازین‌رو استفاده از ترکیبات سیتوتوکسیک با اثر بیشتر و عوارض کمتر، نظیر ترکیبات استخراج شده از گیاهان، جهت درمان سرطان ضروری است.

گیاه عشقه با نام علمی Hedera helix از خانواده Araliaceae است. این درختچه بالارونده و همیشه سبز، بومی اروپا بوده و به دلیل رشد فراینده آن، به سایر نقاط دنیا انتقال داده شده و پراکنده‌گی فراوانی دارد. برگ‌های این گیاه، متناوب، گوشته، پایا و چرمی هستند و در برش عرضی آن علاوه‌بر اپiderm بالایی و زیرین، میانبرگ‌های نرده‌ای به صورت دو ردیف از سلول‌های به هم فشرده و میانبرگ اسفنجی به صورت سلول‌هایی با فضای بین سلولی زیاد دیده می‌شود (۱۷-۱۵).

(هایدولف، آلمان) با دور ۱۵۰ rpm حل شده و تحت شرایط خلا، فیلم نازک هشک هریک از فرمولاسیون‌های F1 و F0 تهیه گردید.

هیدراته کردن فیلم نازک لیپیدی و افزودن عصاره: هیدراته کردن با افزودن مقدار مشخصی آب مقطر استریل به همراه عصاره Hedera helix ، طی مدت ۶۰ دقیقه و در دمای ۵۰°C انجام گردید. سپس نانوذرات تهیه شده، با استفاده از سونیکیت حمامی به مدت ۲۰ دقیقه و در نهایت با استفاده از سونیکیت پروپوی کاهش سایز داده شد (۲۲).

جدول ۱- ترکیبات و درصد مولی هر یک از آنها بهمنظور ساخت

فرمولاسیون‌های F0 و F1

فرمولاسیون	نام	درصد مولی	نوع سورفتانت	نوع پایدار کننده	درصد مولی	نوع سورفتانت	نام
F0	توئین ۶۰	۳۰	کلسترول	۷۰	کلسترول	۷۰	توئین ۶۰
F1	اسپن ۶۰	۳۰	کلسترول	۷۰	کلسترول	۷۰	اسپن ۶۰

ت) بررسی ویژگی‌های فیزیکوشیمیابی نانوسامانه نیوزومی برای بررسی میزان عصاره بارگذاری شده در حامل نیوزومی حاصل از فرمولاسیون‌های F0 و F1 ابتدا هریک از سامانه‌های نیوزومی حاصل از فرمولاسیون‌های F0 و F1 را بعد از کاهش سایز وارد کیسه دیالیز نموده و به مدت یک ساعت درون بشری با ۴۵۰ cc از بافر PBS و در دمای ۴°C قرار داده شد تا عصاره آزاد و درون گیری نشده حذف گردد. سپس نمونه نیوزومی حاوی عصاره با استفاده از حلال ایزوپروپیل، رقیق و زمان کافی داده شد تا نیوزوم شکسته شده و دارو آزاد شود. در ادامه میزان جذب آن با دستگاه اسپکتروفوتومتر در طول خط تعیین شده در نمودار استاندارد عصاره در حلال ایزوپروپیل و رابطه ۱، میزان بارگذاری عصاره تعیین گردید (۲۲).

Entrapment Efficiency (EE %) =
Encapsulated Drug Concentration/Primary Drug Concentration×100

رابطه (۱)

راهیش عصاره از نیوزوم‌ها به‌وسیله روشن دیالیز در بافر PBS و آب دیونیزه به مدت ۴۸ ساعت در شرایط مشابه سلول سلطانی (۴۲°C و pH=۵/۴) و سلول سالم (۳۷°C و pH=۷/۴) مورد سنجش قرار گرفت. جهت بررسی فرآیند راهیش، میزان ۱ میلی‌لیتر از سوسپانسیون نمونه، به صورت جداگانه درون دو کیسه دیالیز منتقل گردید. یکی از کیسه‌های دیالیز حاوی نمونه را در فالکون محتوى PBS و دیگری را در فالکون محتوى آب دیونیزه قرار داده و با ایجاد شرایط دمایی یادشده استیرر گردید. سپس در فواصل زمانی متفاوت نسبت به نمونه‌برداری از محیط اطراف کیسه‌های دیالیز اقدام و به همان نسبت بافر یا آب دیونیزه تازه جایگزین می‌گردد. سپس میزان جذب نمونه‌های برداشت شده با استفاده از دستگاه اسپکتروفوتومتر تعیین و در انتها با بهره‌گیری از معادله خط بهدست آمده از نمودار استاندارد عصاره

Saline(PBS) متعلق به شرکت سیگما ایالات متحده آمریکا تهیه و خریداری شد.

(ب) عصاره گیری

گیاه Hedera helix در اردیبهشت ماه از شهرستان بزد جمع‌آوری و توسط متخصصین منابع طبیعی دانشگاه بزد تأیید گردید. عمل عصاره گیری از برگ این گیاه انجام گرفت که خلاصه آن بدین شرح است: ابتدا برگ‌های گیاه با آب شست و شو داده شده و در سایه خشک شدند. در مرحله بعد برگ‌های خشک شده برگ گیاه را درون برقی پودر گردید. سپس ۲۰ گرم از پودر خشک شده برگ گیاه را درون ظرفی ریخته و به آن ۱۰۰ میلی‌لیتر آب مقطر اضافه و به مدت ۴ ساعت در دمای محیط قرار داده شد. پس از آن محتويات ظرف بر روی پارچه‌ای بهمنظور فیلتراسیون و مایع عبور کرده از فیلتر پارچه‌ای جمع‌آوری شد. سپس مایع جمع‌آوری شده را به مدت ۵ دقیقه با سرعت ۳۰۰۰ دور بر دقیقه سانتریفیوژ نموده و به پلیت شیشه‌ای منتقل شد. پلیت به مدت ۳ شبانه روز در انکوباتور ۳۷ درجه سانتی‌گراد قرار داده شد تا آب موجود در مایع به‌طور کامل تبخیر شود.

(ب) بررسی ویژگی‌های فیزیکوشیمیابی عصاره Hedera helix اسپکتروفوتومتری عصاره برای تعیین طول موج ماکزیمم و رسم نمودار استاندارد از عصاره در ایزوپروپیل، PBS و آب دیونیزه

ابتدا استوک عصاره در حلال آبی در غلظت‌های متفاوتی تهیه گردیده و طیف جذبی آن در بازه طول موج ۲۰۰-۸۰۰ نانومتر رسم گردید. سپس بیشترین میزان جذب از این عصاره که در تمامی طیف‌ها تکرارپذیر بوده است بررسی و طول موج ماکزیمم عصاره انتخاب گردید. بهمنظور رسم نمودار کالیبراسیون عصاره و بهدست آوردن معادله خط آن، غلظت‌های متعدد (W/V) از عصاره به روش سری استاندارد در ایزوپروپیل، PBS و آب دیونیزه ساخته شد. سپس جذب نوری آنها توسط دستگاه اسپکتروفوتومتر در طول موج ماکزیمم و تکرارهای ۳ تایی (محدوده تابعیت رابطه جذب و غلظت از قانون Beer-Lambert) اخذ گردیده و در نهایت، نسبت به رسم نمودار، بهدست آوردن معادله خط و ضریب رگرسیون اقدام گردید (۲۲).

(پ) طراحی فرمولاسیون‌های نیوزومی و اقدام جهت آماده‌سازی و سنتز آن

در مطالعه حاضر با توجه به امکانات موجود از روشن فیلم نازک بهمنظور ساخت ۲ سامانه‌ی نیوزومی (F0 و F1) استفاده شد که خلاصه آن به شرح زیر است:

ساخت فیلم نازک لیپیدی: کلسترول و اسپن ۶۰ مطابق با درصد مولی جدول ۱ بهمنظور ساخت فرمولاسیون F1 و کلسترول و توئین ۶۰ مطابق با درصد مولی جدول ۱ جهت ساخت فرمولاسیون F0 بهصورت جداگانه در حلال کلروفرم و در دمای ۴۰°C بر روی روتاری

شده، استفاده گردید. در مرحله بعدی سلول‌های توموری را تریپسینه نموده، و حدود 105Cells/mL از سوسپانسیون سلولی HT29 به همراه ۳mL محیط کشت به چاهک‌های پلیت منتقل کرده و انکوباسیون به مدت ۲۴ ساعت انجام می‌گیرد. سپس $10\mu\text{l}$ از سامانه نیوزومی که دارای عصاره و رنگ Dil است را به هر چاهک اضافه کرده و حدود ۳ تا ۴ ساعت زمان داده تا عمل تیمار صورت گیرد. در ادامه مقدار ۱۵۰ ماکرولیتر از اتانول ۹۵٪ برای ثبیت سلول‌ها به هر چاهک اضافه و سپس در حدود $15\mu\text{l}$ رنگ DAPI برای رنگ آمیزی هسته با غلظت $1\mu\text{g}/\text{ml}$ بر روی لام پختن و اسمر می‌شود و در نهایت بررسی نمونه‌ها جهت فرآیند Uptake توسط میکروسکوپ فلورسنس انجام می‌گیرد.

نتایج

طیف جذبی عصاره گیاه Hedera helix در بازه ۲۰۰ تا ۶۰۰ نانومتر به وسیله دستگاه اسپکتروفتومتری تهیه و رسم گردید (نمودار ۱). بررسی این طیف جذبی نشان می‌دهد که عصاره Hedera helix در طول موج ۲۴۸nm دارای بیشترین جذب می‌باشد. نمودار استاندارد برای عصاره در حلال ایزوپروپیل خطی راست با معادله $Y=0.003X+0.0131$ است که دارای ضریب تعیین (R^2) ۰.۹۹۵۸ می‌باشد (نمودار ۲). این معادله به صورت درجه یک بوده و رابطه‌ی خطی میان جذب عصاره و غلظت آن را تأیید می‌کند. نمودار استاندارد عصاره Hedera helix در PBS خطی راست با معادله درجه یک $Y=0.004X+0.0008$ و ضریب تعیین ۰.۹۹۸۸ است (نمودار ۳).

همچنین نمودار استاندارد عصاره Hedera helix در آب دیونیزه رسم گردید و معادله خط راست آن که نوعیتابع درجه یک می‌باشد، به صورت $Y=0.055X-0.0135$ با ضریب تعیین ۰.۹۹۵۸ محاسبه شد (نمودار ۴).

درصد بارگذاری عصاره Hedera helix درون سامانه‌های نیوزومی حاصل از فرمولاسیون‌های F0 و F1 و انتخاب فرمولاسیون مناسب با استناد به معادله خط نمودار استاندارد عصاره Hedera helix در ایزوپروپیل و با استفاده از رابطه ۱، میزان بارگذاری عصاره Hedera helix در سامانه نیوزومی برای فرمولاسیون‌های F0 و F1 به ترتیب $95/43\pm 2/43$ و $46/86\pm 1/62$ محسوبه گردید. با توجه به بارگذاری بیشتر عصاره در سامانه‌ی نیوزومی حاصل از فرمولاسیون F1، سامانه نیوزومی حاصل از فرمولاسیون F1 انتخاب و مورد بررسی‌ها و تجزیه و تحلیل‌های بعدی (بررسی رهایش، اندازه ذرات، پتانسیل زتا، شکل ظاهری و سمیت) قرار گرفت.

در PBS و آب دیونیزه نسبت به اندازه‌گیری غلظت عصاره در زمان‌های مختلف و رسم نمودار رهایش در PBS و آب دیونیزه اقدام گردید (۲۲ و ۲۶).

پتانسیل زتا (Zeta-Potential) فرمولاسیون‌های نیوزومی و اندازه آنها، با استفاده از دستگاه زتا سایزر شرکت Malvern Instruments مدل Nano-ZetaSizer ES در دمای اتاق و زاویه 90° اندازه‌گیری گردید.

مقدار $25\mu\text{l}$ از نمونه نیوزومی بر روی یک لام ریخته و محلول در مجاورت هوا خشک شد. نمونه‌ها چند ثانیه با طلا پوشش داده شده تا رسانا شوند. سپس مورفولوژی سطحی نانوحامل‌ها (زبری، شکل، صافی و توده‌ای شدن) با استفاده از دستگاه Scanning Electron Microscopes (SEM) بررسی گردید.

آنالیز سلولی

در این مطالعه از رده سلولی HT29 سلطان کولون استفاده شد که از بانک سلولی انتستیتو پاستور (تهران، ایران) تهیه گردیده بودند. سلول‌های این رده‌ی سلولی در فلاسک‌های یک بار مصرف کشت Thermofisher – GIBCO (DMEM) در میانه 37°C درصد 10% U.S.A (Glutamine غنی شده با FBS) در دمای 37°C با فشار 5% نت از CO_2 و 95% بخار آب کشت داده شد.

سمیت سلولی با روش MTT برای فرمولاسیون مطالعه شده به کار گرفته شد. به منظور اندازه‌گیری سمیت، سلول‌های HT29 سلطان کولون به طور جداگانه با غلظت $10\mu\text{l}$ در هر چاهک در پلیت 96 تایی به مدت ۴۸ ساعت کشت داده شدند. سپس سلول‌ها با $100\text{ }\mu\text{l}$ میکروگرم بر میلی‌لیتر از نیوزوم بدون عصاره به مدت ۴۸ ساعت تیمار گردیدند. تا میزان سمیت نیوزوم فاقد عصاره بررسی گردد. همچنین سلول‌ها با $100\text{ }\mu\text{l}$ و $50\text{ }\mu\text{l}$ میکروگرم بر میلی‌لیتر از نیوزوم‌های حاوی عصاره و $100\text{ }\mu\text{l}$ و $50\text{ }\mu\text{l}$ میکروگرم بر میلی‌لیتر از عصاره آزاد به مدت ۴۸ ساعت تیمار گردیدند. پس از گذشت زمان تیمارهای موردنظر، $20\text{ }\mu\text{l}$ میکروگرم محلول MTT با غلظت $5\text{ }\mu\text{l}$ بر میلی‌لیتر به هر چاک اضافه شد و به مدت ۴ ساعت انکوبه شدند. بعد از آن مایع رویی خارج شد و به منظور حل شدن کریستال‌های فورمازون $150\text{ }\mu\text{l}$ میکروگلیتر اضافه گردید. جذب در طول موج 570 nm نانومتر با استفاده از توسط دستگاه الایزا ریدر ثبت و در نهایت با توجه به رابطه‌ی زیر درصد زنده‌مانی سلول‌ها محاسبه شد (۲۷).

رابطه:

میانگین جذب نوری در محیط کشت-میانگین جذب نوری در گروه آزمون میانگین جذب نوری در محیط کشت-میانگین جذب نوری در گروه کنترل جهت بررسی ورود سامانه‌ی ساخته شده به درون سلول‌های HT29 از پلیت‌های ۶ خانه‌ای که در کف هر کدام یک عدد لام قرار داده

بارگذاری عصاره درون سامانه نیوزومی باعث مثبت‌تر شدن بار سطحی سامانه حدود ۵ میلی‌ولت شده است (شکل ۳ و ۴).

تصاویر حاصل از SEM (شکل ۵) حاکی از آن است که مورفو‌لوزی نانوذرات حاصل از فرمولاسیون F1، کروی بوده و سطح آنها صاف و هموار است و همچنین نانوذرات هیچ‌گونه تجمع ناخواسته‌ای که سبب آگلومره شدن و ایجاد رسوب و ناپایداری گردد، نداشته است. میزان سمیت سامانه نیوزومی فاقد عصاره، عصاره بارگذاری شده و عصاره‌ی آزاد (بارگذاری نشده) بر رده سلولی HT29 سرطان کولون بروش MTT محاسبه و در نمودار ۷ به صورت خلاصه گزارش شده است.

نتایج حاصل از آزمون MTT نشان می‌دهد که سامانه نیوزومی فاقد عصاره سمیت بسیار ناچیزی بر رده سلولی HT29 دارد. زیرا بر اثر تیمار سلول‌ها طی ۴۸ ساعت با این نانو سامانه فاقد عصاره حدود ۹۶/۵ درصد سلول‌ها زنده مانده‌اند.

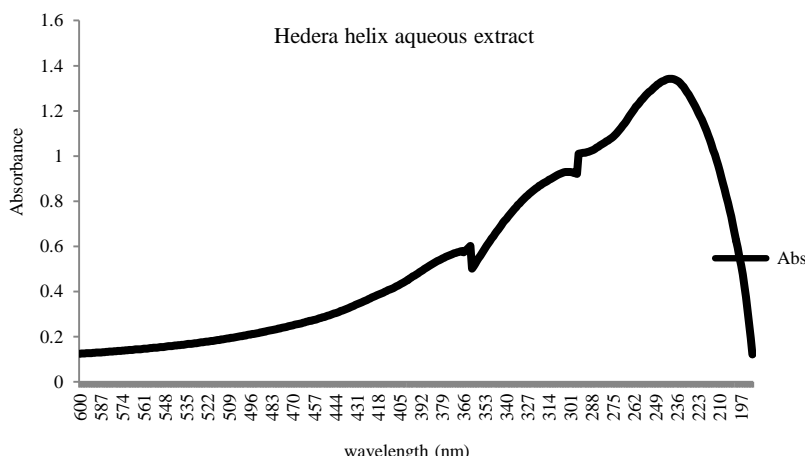
عصاره بارگذاری شده در سامانه نیوزومی حاصل از فرمولاسیون F1، نسبت به عصاره آزاد (نیوزومه نشده) در غلظت‌های مشابه، سمیت بیشتری بر رده سلولی HT29 دارد.

سمیت عصاره‌ی آزاد (نیوزومه نشده) و عصاره نیوزومه شده بر رده سلولی HT29، وابسته به غلظت بوده به گونه‌ای که با کاهش غلظت عصاره آزاد از ۱۰۰ به ۲۵ میکروگرم بر میلی‌لیتر، میزان مرگ سلول‌ها از ۷۰ به ۲۳/۵ درصد کاهش یافته است و با کاهش غلظت نیوزوم حاوی عصاره از ۱۰۰ به ۲۵ میکروگرم بر میلی‌لیتر، میزان مرگ سلول‌ها از ۸۲ به ۴۲ درصد کاهش یافته است.

درصد رهایش تجمیعی در بازه‌ی زمانی ۴۸ ساعته و در زمان‌های ۰/۵، ۱، ۲، ۳، ۴، ۵، ۶، ۷ و ۴۸ ساعت با استفاده از نمودار استاندارد عصاره Hedera helix در آب دیونیزه محاسبه (جدول ۲) و نمودار رهایش عصاره در شرایط مشابه سلول سالم و سرطانی رسم گردید (نمودار ۵). با بررسی داده‌های موجود در جدول و الگوی رهایش عصاره مشخص می‌شود که رهایش عصاره طی ۴۸ ساعت در آب دیونیزه پیوسته بوده است. همچنین این بررسی نشان می‌دهد که حداقل رهایش عصاره در شرایط مشابه سلول سالم و سرطانی در آب دیونیزه طی ۴۸ ساعت به ترتیب ۷۶/۰۴ و ۸۳/۷۹ درصد می‌باشد. درصد رهایش تجمیعی در بازه‌ی زمانی ۴۸ ساعته با استفاده از نمودار استاندارد عصاره PBS محاسبه (جدول ۳) و نمودار رهایش عصاره در شرایط مشابه سلول سالم و سرطانی رسم گردید (نمودار ۶). با بررسی داده‌های موجود در جدول و الگوی رهایش عصاره، مشخص می‌شود که رهایش عصاره طی ۴۸ ساعت در PBS پیوسته بوده است. همچنین این بررسی نشان می‌دهد که حداقل رهایش عصاره در شرایط مشابه سلول سالم و سرطانی در PBS طی ۴۸ ساعت به ترتیب ۳۴/۰۵ و ۴۵/۱۱ درصد می‌باشد.

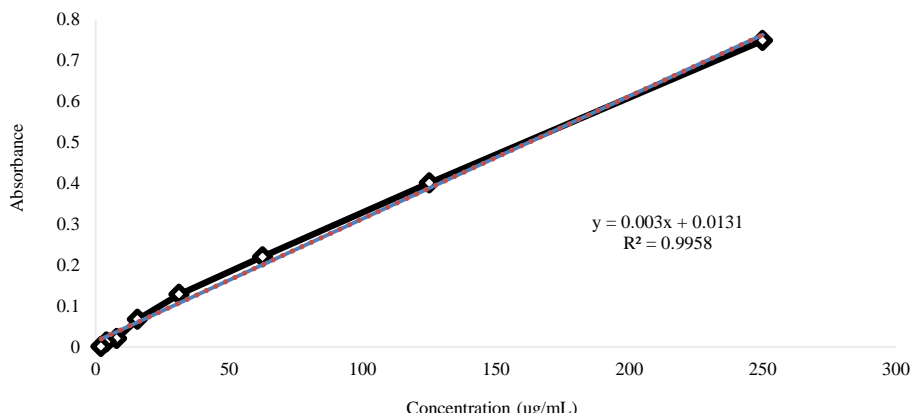
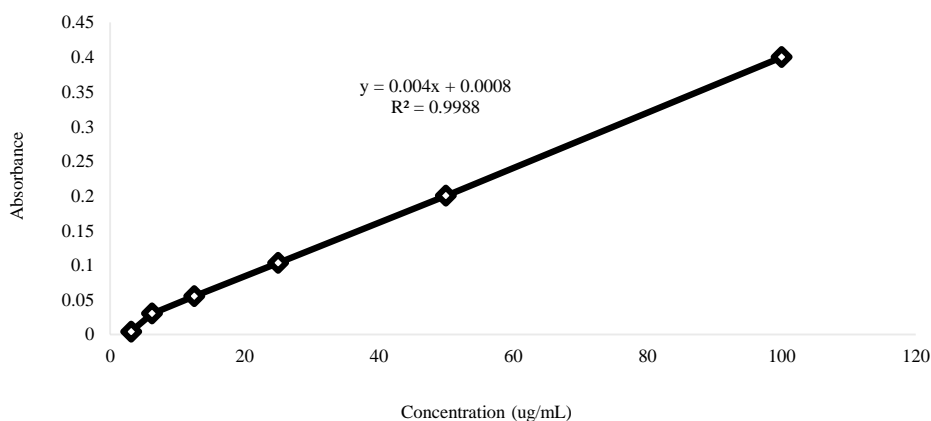
نتایج حاصل از DLS نشان می‌دهد که اندازه ذرات سامانه نیوزومی حاصل از فرمولاسیون F1 قبل و بعد از بارگذاری دارو به ترتیب ۱۱۶/۹ و ۱۳۲/۵ نانومتر بوده است. این بررسی نشان می‌دهد که درون‌گیری دارو باعث افزایش اندازه ذرات سامانه نیوزومی به میزان ۱۵/۶ نانومتر شده است (شکل ۱ و ۲).

محاسبه بار سطحی (پتانسیل زتا) نانوذرات نیوزومی حاصل از فرمولاسیون F1 به ترتیب قبل و بعد از بارگذاری عصاره، ۴۱/۴۷±۲/۶۹ و ۴۶/۷۴±۵/۵۵ میلی‌ولت را نشان می‌دهد.

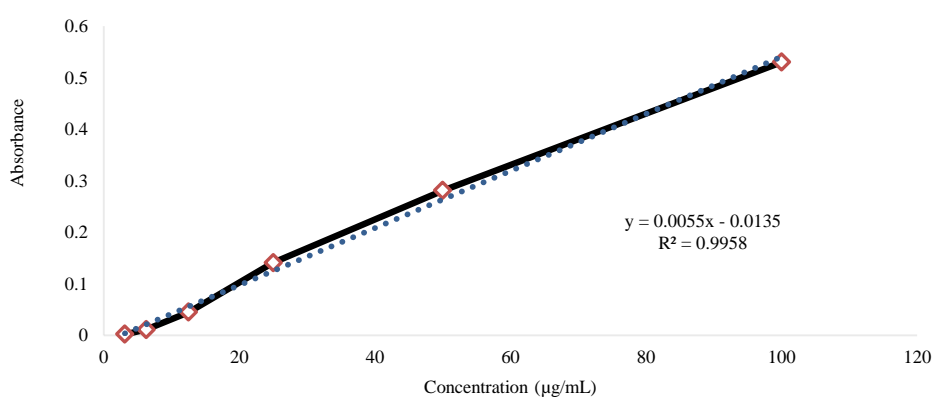


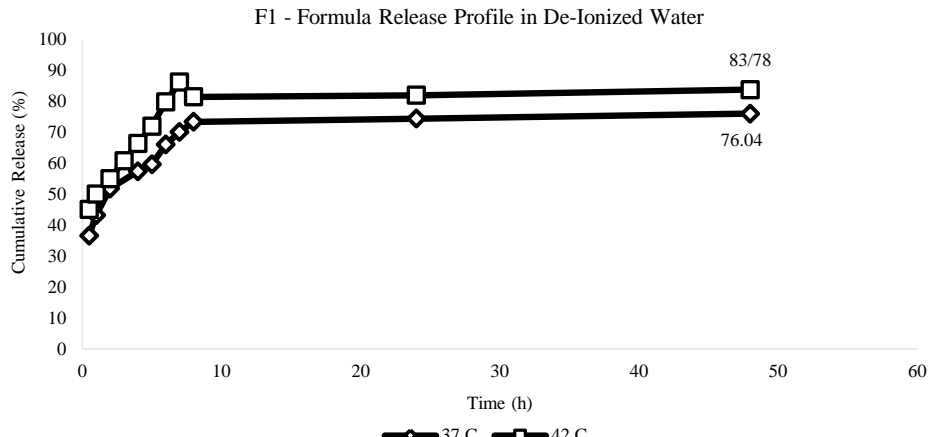
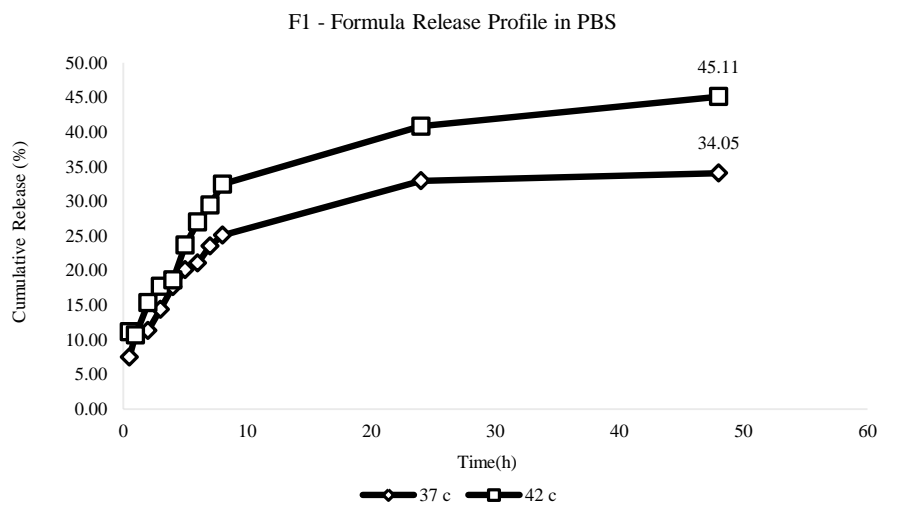
نمودار ۱- طیف جذبی عصاره آبی Hedera helix در بازه ۲۰۰ تا ۶۰۰ نانومتر

Plant Extract Calibration Standard in Isoproyl

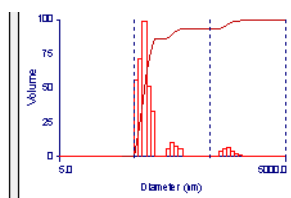
نمودار ۲- نمودار استاندارد عصاره آبی *Hedera helix* در ایزوپروپیلنمودار ۳- نمودار استاندارد عصاره آبی *Hedera helix* در PBS

Plant Extract Standard Calibration in De-Ionized water

نمودار ۴- نمودار استاندارد عصاره آبی *Hedera helix* در آب دیونیزه

نمودار ۵ - نمودار رهایش عصاره آبی *Hedera helix* در آب دیونیزهنمودار ۶ - نمودار رهایش عصاره آبی *Hedera helix* در PBS

Sample ID: Bsd (Run 4)
 Date - Time: Jul 12, 2017 18:03:42
 Operator ID: hakimian
 Elapsed Time: 00:00:30
 Mean Diam.: 116.9 nm
 Rel. Var.: 2.435
 Skew: 3.899



d(nm)	G(d)	C(d)	d(nm)	G(d)	C(d)	d(nm)	G(d)	C(d)
36.4	0	0	138.6	5	88	527.7	0	94
41.1	0	0	156.5	10	91	595.9	0	94
46.4	0	0	176.7	7	93	672.9	3	95
52.4	56	16	199.6	5	94	759.9	5	97
59.2	72	36	225.4	0	94	858.1	6	98
66.8	100	64	254.5	0	94	969.0	4	99
75.5	51	78	287.4	0	94	1094.2	2	100
85.2	33	87	324.5	0	94	1235.6	0	100
96.2	0	87	366.4	0	94	1395.3	0	100
106.7	0	0	412.0	0	94	1575.0	0	100

Volume

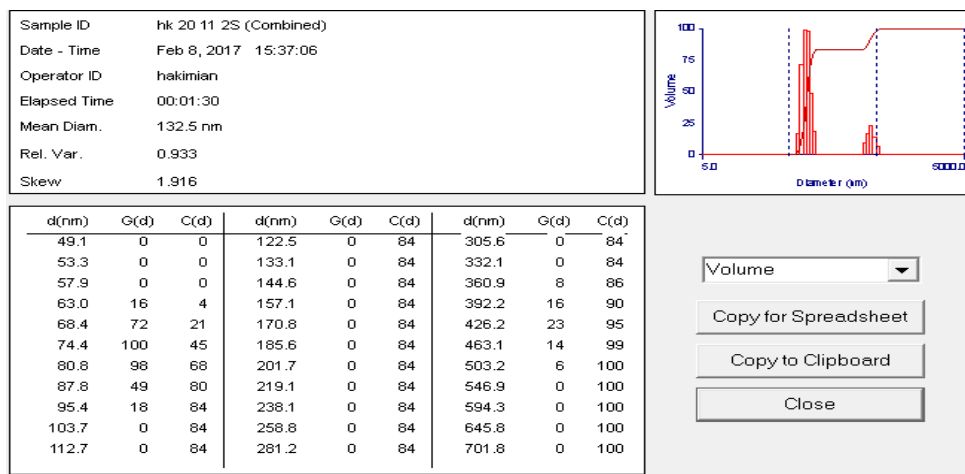
شکل ۱ - اندازه‌ی ذرات در نانوسامانه نیوزومی حاصل از فرمولاسیون F1، قبل از بارگذاری عصاره

جدول ۲- درصد رهایش تجمیعی در زمان‌های مختلف طی ۴۸ ساعت در شرایط مشابه سلول سالم و سرطانی در آب دیونیزه

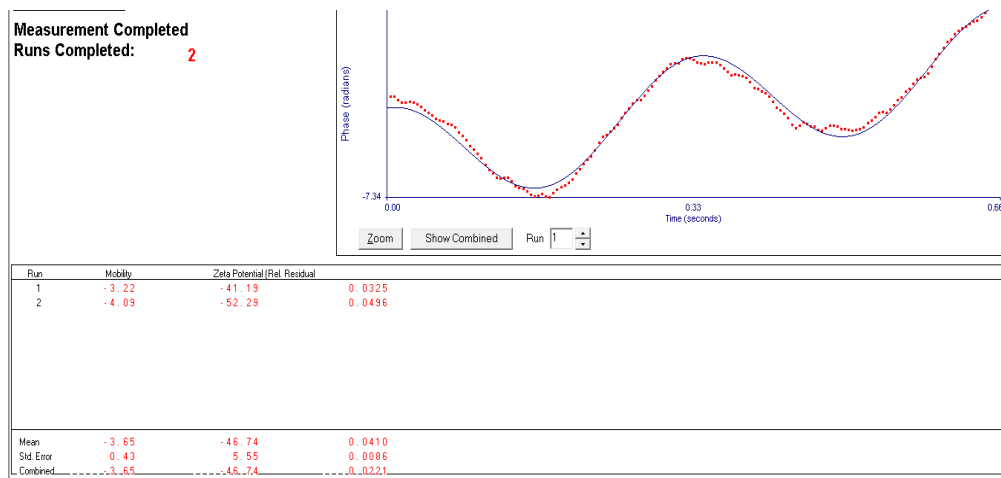
زمان (ساعت)	رهایش تجمیعی (۳۷°C و pH= ۷/۴)	رهایش تجمیعی (۴۲°C و pH= ۵/۴)
۰/۵	۳۶/۶۳	۴۵/۰۵
۱	۴۳/۲۴	۴۹/۹۸
۲	۵۱/۸۳	۵۴/۹۵
۳	۶۵/۵۲	۶۰/۸۰
۴	۵۷/۳۹	۶۶/۳۶
۵	۵۹/۷۱	۷۲/۰۰
۶	۶۶/۰۶	۷۹/۸۳
۷	۷۰/۱۵	۸۶/۲۷
۸	۷۳/۳۹	۸۱/۴۷
۲۴	۷۴/۴۴	۸۱/۹۸
۴۸	۷۶/۰۴	۸۳/۷۹

جدول ۳- درصد رهایش تجمیعی در زمان‌های مختلف طی ۴۸ ساعت در شرایط مشابه سلول سالم و سرطانی در PBS

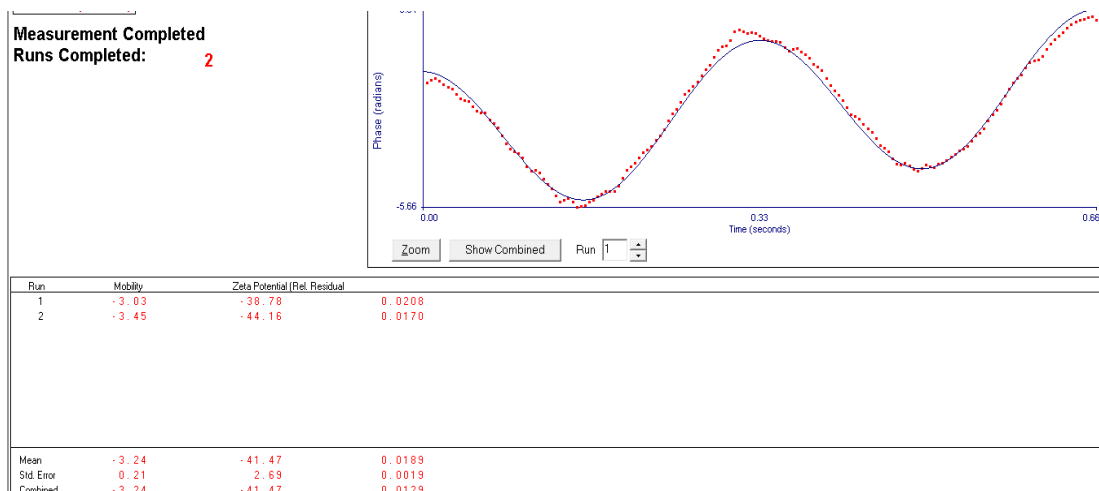
زمان (ساعت)	رهایش تجمیعی (۳۷°C و pH= ۷/۴)	رهایش تجمیعی (۴۲°C و pH= ۵/۴)
۰/۵	۷/۴۷	۱۱/۱۶
۱	۱۰/۸۵	۱۰/۶۹
۲	۱۱/۳۴	۱۵/۳۴
۳	۱۴/۴۰	۱۷/۷۲
۴	۱۷/۶۷	۱۸/۶۲
۵	۲۰/۱۱	۲۳/۶۸
۶	۲۱/۰۶	۲۷/۰۱
۷	۲۳/۵۵	۲۹/۴۴
۸	۲۵/۰۸	۳۲/۴۵
۲۴	۲۲/۹۴	۴۰/۱۳
۴۸	۳۴/۰۵	۴۵/۱۱



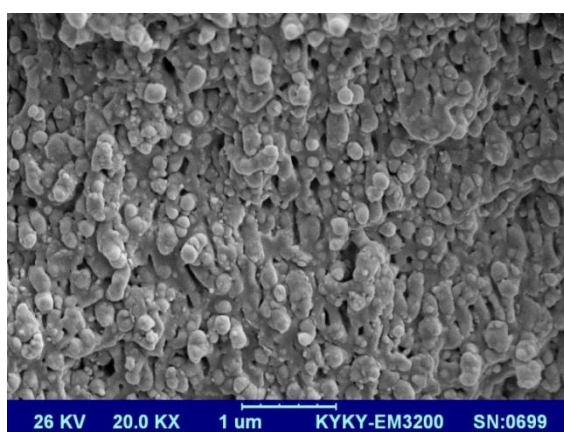
شکل ۲- اندازه‌ی ذرات در نانوسامانه نیوزومی حاصل از فرمولاسیون F1، بعد از بارگذاری عصاره



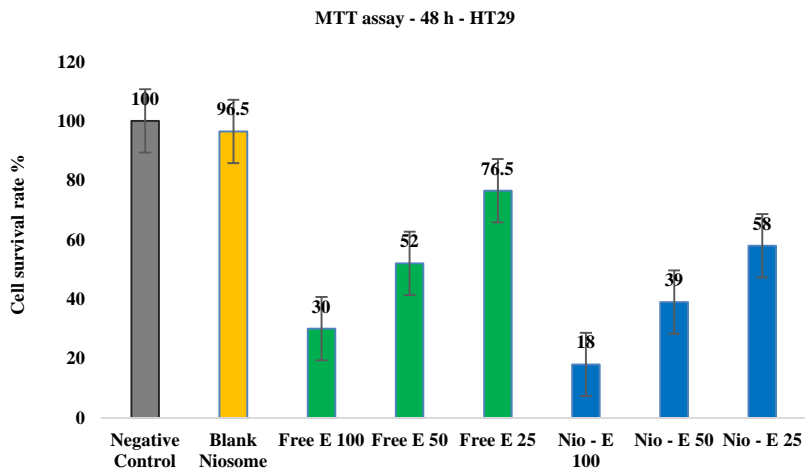
شکل ۳- بار سطحی (پتانسیل زتا) نانوسامانه نیوزومی حاصل از فرمولاسیون F1، قبل از بارگذاری عصاره



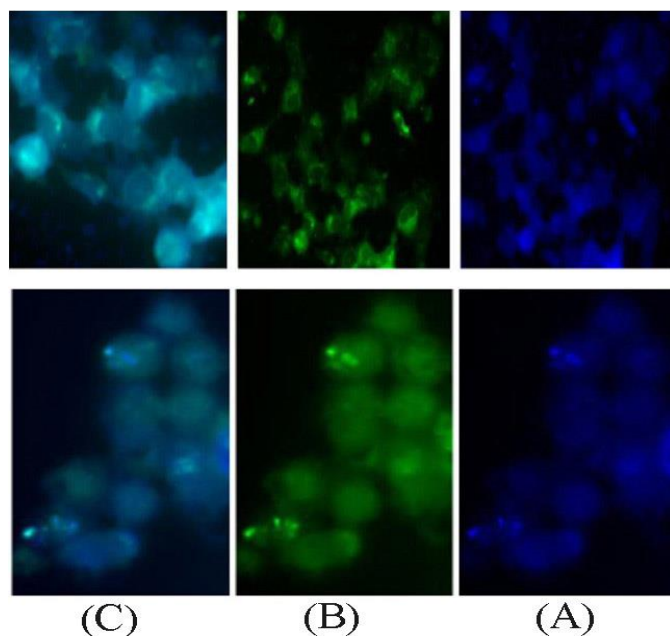
شکل ۴- بار سطحی (پتانسیل زتا) نانوسامانه نیوزومی حاصل از فرمولاسیون F1، بعد از بارگذاری عصاره



شکل ۵- شکل ظاهری نانوسامانه نیوزومی F1 دارای عصاره Hedera helix



نمودار ۷- میزان تأثیر سامانه نیوزومی فاقد عصاره، عصاره بارگذاری شده و عصاره‌ی آزاد بر رده‌ی سلولی HT29

شکل ۶- ورود نانوسامانه‌ی حاوی عصاره‌ی *Hedera helix* به سلول‌های HT29

بحث

در پژوهش حاضر دو سامانه‌ی نیوزومی حاوی عصاره *Hedera helix* که در ساختار یکی از سامانه‌ها توئین ۶۰ و در ساختار سامانه دیگر اسپن ۶۰ به کار رفته است، به ترتیب با درصد درون‌گیری ۹۵/۴۳±۲/۴۳ و ۸۶/۱۶۲ نوع سورفتانت (غلظت مولی، طول بخش آبگریز، HLB)، میزان کلسترول موجود در ساخت سامانه، نوع ماده درون‌گیری شده و درجه خلوص مواد به کار رفته در ساخت سامانه بر میزان درون‌گیری عصاره در سامانه‌ی نیوزومی مؤثر است (۲۸ و ۲۹). با توجه به اینکه درصد

جهت بررسی ورود نانو سامانه دارای عصاره به سلول پس از آماده‌سازی نمونه‌ها طبق پروتکل شرح داده شده در مباحث قبلی نسبت به تصویربرداری نمونه‌ها با استفاده از میکروسکوپ فلورسنت اقدام گردید. بر این اساس تصاویر A، B و C به ترتیب نشان‌دهنده هسته رنگ شده با رنگ DAPI در زیر فیلتر آبی، سامانه نیوزومی رنگ شده با Dil در زیر فیلتر سبز و تصویر فلورسنت ثبت شده با فیلتر Merge است که همپوشانی میان فیلترهای آبی و سبز در تصویر C حاکی از ورود نانوسامانه به درون هسته سلول می‌باشد (شکل ۶).

پژوهش حاضر نشان می‌دهد که سمیت سامانه‌ی نیوزومی حاوی عصاره *Hedera helix* نسبت به عصاره‌ی آزاد (نیوزومه نشده) بر رده‌ی سلولی HT29 بیشتر می‌باشد. به نظر می‌رسد که این افزایش سمیت، ناشی از ورود کامل و رهایش آهسته و پیوسته عصاره از سامانه‌ی نیوزومی باشد. زیرا با توجه به تصاویر حاصل از آزمون aptak مشخص شد که سامانه نیوزومی حاوی عصاره با موفقیت وارد سلول‌های HT29 و بدین ترتیب ترکیبات ضدتumorی عصاره، در داخل سلول آزاد می‌گردد، که اثرگذاری این ترکیبات در این شرایط، نسبت عصاره آزاد بر سلول سرطانی بیشتر خواهد بود.

تاکنون پژوهش‌های متعددی بر روی نانوحامل‌های لیپیدی حاوی ترکیبات گیاهی صورت پذیرفته است، والتی و همکاران در سال ۲۰۰۱، نانو لیپوزوم‌های چند لایه و تک لایه حاوی انسانس ساتنولینا، تهیه نمودند که در نanolipozom‌های چند لایه، اندازه، شاخص پراکندگی ذرات و درصد درون پوشانی به ترتیب، ۴۶۷ nm، ۰/۳۳ و ۷۸/۵ درصد و در نanolipozom‌های تک لایه، اندازه، شاخص پراکندگی ذرات و درصد درون پوشانی به ترتیب، ۵۳ nm، ۰/۱۵ و ۸۰ درصد گزارش شده است (۳۸).

دتوئی و همکاران در سال ۲۰۰۹، نانولیپوزوم‌های چند لایه حاوی انسانس *Zanthoxylum tingoassuiba* با استفاده از روش فیلم نازک تهیه نمودند که اندازه آنها ۹۳۷ nm و درصد درون پوشانی ۴۳/۷ درصد گزارش شد (۳۹).

سلیا و همکاران در سال ۲۰۱۳ نانو لیپوزوم‌های حاوی انسانس ترنج را تهیه نمودند که این نانو ذرات ضمن افزایش میزان حلالیت انسانس و بهبود شاخصه‌های ضدسرطانی آن، دارای پتانسیل زتای ۶ – و اندازه ذرات ۱۸۶ nm بودند (۴۰).

تاوو و همکاران نیز در سال ۲۰۱۴، نانوذرات کیتوزان حاوی انسانس آویش تهیه نمودند که در این پژوهش میزان درون گیر شدن انسانس ۸۰ درصد و اندازه نانوذرات بین ۳۲۰۰ تا ۵۸۰ نانومتر گزارش شده است (۴۱).

حقجو و همکاران در سال ۲۰۱۵ نانو لیپوزوم‌های حاوی انسانس گزنه در غلظت‌های مختلفی از فسفاتیدیل کولین و کلسترول تهیه نمودند که حداکثر میزان درون پوشانی انسانس ۸۳/۸۸ محدوده اندازه ذرات بین ۸۱ تا ۹۴ نانومتر و شاخص پراکندگی ذرات مانند پژوهش حاضر، ۰/۳ گزارش شده است (۴۲).

بشیری و همکاران در سال ۲۰۱۵، نانو لیپوزوم‌های حاوی بتاکاروتون تهیه نمودند و به بررسی میزان پایداری این ذرات با گذشت زمان پرداختند. آنها گزارش کردند که اندازه نانو لیپوزوم‌های تهیه شده در حدود ۶۴ nm بوده و میزان درون پوشانی در بهترین فرمول حدود ۸۹/۷۷ درصد بوده است (۴۳).

خلوص مواد، نوع ماده‌ی درون گیری شده و غلظت مولی کلسترول در هر دو سامانه یکسان بوده است، علت تفاوت در بازده درون گیری عصاره در دو سامانه ناشی از تفاوت در نوع سورفتانت به کار رفته در ساختار آنها است. HLB پایین‌تر و طویل‌تر بودن طول زنجیره‌ی آبگریز در اسپن ۶۰ نسبت به تؤین می‌تواند دلیلی بر بالابودن درون گیری عصاره درون سامانه‌ی نیوزومی اسپن دار نسبت به سامانه‌ی نیوزومی تؤین دار باشد به گونه‌ای که در اشیوکار و همکاران در سال در پژوهشی همانند پژوهش حاضر، نشان می‌دهند که سامانه‌ی نیوزومی ساخته شده از اسپن ۶۰ نسبت به سامانه‌ی نیوزومی ساخته شده از تؤین ۶۰ بازده درون گیری بالاتری دارد (۳۰).

همچنین در این پژوهش، رهایش عصاره از سامانه‌ی نیوزومی در PBS و آب دیونیزه در شرایط مشابه سلول سالم و سرطانی آهسته می‌باشد. یکی از عوامل مؤثر در میزان رهایش از نانوسامانه‌های نیوزومی، کلسترول می‌باشد. پژوهش‌هایی نظیر حقیرالسادات و همکاران در سال ۲۰۱۷، نشان دادند که افزایش غلظت کلسترول در ساختار سامانه‌ی لیپیدی باعث افزایش میزان رهایش می‌گردد (۳۱)، بنابراین انتخاب غلظت مولی مناسبی از کلسترول برای ساخت نانوسامانه‌ی لیپیدی ضرورتی اجتناب‌ناپذیر است. همچنین مقایسه نمودار رهایش عصاره در شرایط سلول سرطانی و سالم نشان می‌دهد که، سامانه نیوزومی در شرایط مشابه سلول سرطانی، مقدار بیشتری از عصاره را آزاد نموده است که می‌توان نتیجه گرفت، این سامانه، عصاره‌ی بیشتری را در اختیار سلول سرطانی نسبت به سلول سالم قرار می‌دهد، بنابراین سلول‌های سالم تا حدود زیادی از عوارض جانبی احتمالی عصاره مصنوع می‌مانند (۳۲ و ۳۳).

در پژوهش حاضر معین گردید که میزان بار سطحی (پتانسیل زتا) نانوسامانه‌ی لیپیدی $41/47 \pm 2/69 - 4/1$ است. از آنجا که یکی از عوامل افزایش‌دهنده‌ی پایداری نانوسامانه‌های لیپیدی، افزایش بار سطحی سامانه است، بنابراین نانوسامانه‌ی حاصل از این پژوهش با برخورداری از بار منفی بالا، می‌تواند از پایداری لازم برخوردار باشد، زیرا بار منفی زیاد موجود در سطح آن از به هم چسبیدن و رسوب نانوسامانه‌ها جلوگیری می‌کند (۳۴-۳۶). از سوی دیگر با بارگذاری عصاره درون نانوسامانه‌های حاصل از پژوهش حاضر، مقداری از بار منفی سطح نانوسامانه کاسته شده و پتانسیل زتای نانوسامانه نسبت به قبل از بارگذاری عصاره مثبت‌تر شده است، که این پدیده می‌تواند کارایی نانوسامانه در برابر سلول هدف افزایش دهد، زیرا پژوهش‌هایی نظیر حقیرالسادات و همکاران در سال ۲۰۱۷، گزارش نموده‌اند که سامانه‌های لیپیدی با بار سطحی مثبت نسبت به سامانه‌های لیپیدی خنثی و آنیونی، سمیت بیشتری برای سلول‌های سرطانی دارند (۳۷).

دارای سمیت بالاتری بر رده‌ی سلولی MCF-7 می‌باشد. پژوهش برکت و همکاران همانند پژوهش حاضر تأیید می‌کند که عصاره بارگذاری شده درون سامانه‌های لیپیدی نسبت به عصاره آزاد از سمیت بالاتری بر رده‌های سلولی سرطان برخوردار است (۴۸).

طالعی اردکانی و همکاران در سال ۲۰۲۰، ضمن ساخت سامانه نیوزومی حاوی فلاونوئید کوئرستین، اندازه، پتانسیل زتا، درصد بارگذاری و الگوی رهایش دارو را در شرایط سلول سالم به ترتیب ۱۷۰ nm، ۱/۶ میلی‌ولت، ۶۴/۴۹ درصد و آهسته گزارش نمودند (۴۹). پژوهش حاضر اگرچه با توجه به نتایج حاصل از آن، متنه‌ی به فرمولاسیون مناسب نیوزومی جهت رسانش عصاره Hedera helix به سلول‌های HT29 سرطان کولون، شد، ولی همانند بسیاری از پژوهش‌ها دارای نواقص و کاستی‌هایی نیز می‌باشد. عدم بررسی رهایش سامانه نیوزومی حاوی Hedera helix در pH‌های متفاوت‌تر، عدم استفاده از پلاسمای خون به جای آب دیونیزه و بافر PBS عدم بررسی پایداری سامانه نیوزومی، از جمله مهمترین کاستی‌های پژوهش حاضر می‌باشد که اصلاح و انجام هریک از موارد ذکر شده به پژوهشگران بعدی پیشنهاد می‌شود.

تشکر و قدردانی

پژوهش حاضر حاصل پایان‌نامه کارشناسی ارشد بوده است. بدین‌وسیله از تمامی کسانی که در انجام این پژوهه همکاری نموده‌اند، تشکر و قدردانی می‌شود.

References

- Pecorino Lauren. Molecular biology of cancer mechanism, targets and therapeutics. 3rd ed. United Kingdom: Oxford University Press; 2012.
 - Jemal A, Siegel R, Ward E, Hao Y, Xu J, Murray T, Thun MJ. Cancer statistics, 2008. CA: A Cancer Journal for Clinicians 2008;58:71-96. doi:[10.3322/CA.2007.0010](https://doi.org/10.3322/CA.2007.0010)
 - Rahimi Pordanjani S, Baeradeh N, Lotfi MH, Pourmohammadi B. Epidemiology of colorectal cancer: incidence, mortality, survival rates and risk factors. Razi Journal of Medical Sciences 2016;23:41-50.[Persian].
 - Jemal A, Bray F, Center MM, Ferlay J, Ward E, Forman D. Global cancer statistics. CA: A Cancer Journal for Clinicians 2011;61:69-90. doi:[10.3322/caac.20107](https://doi.org/10.3322/caac.20107)
 - Boyle P, Langman JS. ABC of colorectal cancer: Epidemiology. BMJ: British Medical Journal. 2000 Sep 30;321:805. doi:[10.1136/bmj.321.7264.805](https://doi.org/10.1136/bmj.321.7264.805)
 - Parsaee R, Fekri N, Shahid sales S, AfzalAghaee M, Shaarbaf Eidgahi E, Esmaily H. Prognostic Factors in the Survival Rate of colorectal cancer patients . JNKUMS 2015;7:45-5. doi:[10.29252/jnkums.7.1.45](https://doi.org/10.29252/jnkums.7.1.45)
 - Emami S, Fatemi A, Farajzadegan Z, Movahed-Abtahi S. Epidemiology of colorectal cancer in Isfahan province. Govaresh 2005;10:134-9.[Persian].
 - Fakheri H, Janbabai G, Bari Z, Eshqi F. The Epidemiologic and Clinical-Pathologic Characteristics of Colorectal Cancers from 1999 to 2007 in Sari, Iran. J Mazandaran Univ Med Sci 2008;18:58-66.[Persian].
- ابراهیمی خوسفی و همکاران در سال ۲۰۱۵، لیپوزوم‌های حاوی انسان آویشن شیرازی تهیه نمودند که درصد و شانی را در نقطه بهینه ۵۴/۴ درصد گزارش نمودند. همچنین پژوهش یادشده نشان می‌دهد که مهمترین شاخص مؤثر بر ریزپوشانی، درصد محتوای فسفاتیدیل کولین به کار رفته در سنتر لیپوزوم است و با کپسوله کردن انسان آویشن می‌توان خاصیت آنتی‌باتریال انسان را افزایش داد (۴۴).
- کوی و همکاران در سال ۲۰۱۵ نانو لیپوزوم‌های حاوی انسان می‌خک تهیه نمودند که اندازه نانو ذرات را بین ۱۵۶/۱ تا ۷۸/۳ نانومتر، شاخص پراکندگی ذرات را ۰/۱۹۶، پتانسیل زتا ذرات را ۲۴/۵ و میزان درون پوشانی را ۰/۴۱ درصد گزارش نمودند (۴۵).
- حقیرالسادات و همکاران در سال ۲۰۱۶ نانو ذرات لیپیدی حاوی انسان زیان تهیه نمودند که میزان انکپسولاسیون انسان ۳۵/۶ درصد و اندازه نانوذرات حاوی انسان nm ۱۸۶/۱ بوده است. همچنین پتانسیل زتا ذرات در این پژوهش بین ۱-۶/۷ تا ۶/۷ شده است (۴۶). استفاده از سامانه نیوزومی، درصد بارگذاری بالاتر و اندازه ذرات کوچک‌تر، از جمله مزایای پژوهش حاضر نسبت به پژوهش حقیرالسادات و همکاران است.
- قره نقده و همکاران در سال ۲۰۱۷، نانو لیپوزوم‌های حاوی انسان مریم گلی با فرمول‌های مختلف (۰-۹۰، ۱۰-۸۰ و ۷۰-۲۰ میلی‌گرم) تهیه نمودند که اندازه ذرات و شاخص پراکندگی ذرات به ترتیب در محدوده ۸۲-۸۸ نانومتر و ۰/۴۲-۰/۳۹ و میزان درون پوشانی انسان در تمامی فرمول‌ها بالای ۷۰ درصد گزارش شده است (۴۷). نتایج پژوهش قره نقده و همکاران نزدیک به پژوهش حار می‌باشد.
- مجدی‌زاده و همکاران در سال ۲۰۱۸، نانولیپوزوم‌های حاوی انسان نعناع فلقلی تهیه نمودند که وزیکول‌های لیپوزومی حاوی انسان با اندازه ۱۳/۳۹ ± ۲/۷ نانومتر، پتانسیل زتا ۶۱/۳۸ ± ۲/۷ ۲۴۷ ± ۲/۷ درصد میزان راندمان انکپسولاسیون، پتانسیل زتا ۰/۷۴ ± ۳۴/۵۴ میلی‌ولت و شاخص پراکندگی ۰/۰۱ ± ۰/۳۲ می‌باشد (۴۸).
- استفاده از سامانه نیوزومی، درصد بارگذاری بالاتر و اندازه ذرات کوچک‌تر، از جمله مزایای پژوهش حاضر نسبت به پژوهش مجدی‌زاده و همکاران است که می‌تواند ناشی از تفاوت در نوع سامانه و نوع ماده‌ی درون‌گیری باشد که بر ویژگی‌های فیزیکوشیمیایی سامانه تأثیر گذاشته است.
- برکت و همکاران در سال ۲۰۱۹ موفق به ساخت سامانه لیپوزومی حاوی عصاره‌ی Nepeta persica شده به منظور اثرباری بر رده سلولی ۷MCF- سرطان پستان شدن و راندمان بارگذاری عصاره را ۱۱/۶۷ درصد، اندازه ذرات را ۱۱۶/۹ nm و پتانسیل زتا ذرات را ۱۳/۲۴ میلی‌ولت گزارش نمودند. همچنین نتایج پژوهش برکت و همکاران نشان داد که عصاره لیپوزومه شده نسبت به عصاره آزاد

9. Salari A, Dehghan H. Evaluation and Treatment of Colorectal Cancer in Shahid Rahnemoon and Afshar Hospitals, Yazd-Iran. JSSU 2007;15:20-25.[Persian].
10. Granados-Romero JJ, Valderrama-Treviño AI, Contreras-Flores EH, Barrera-Mera B, Herrera Enríquez M, Uriarte-Ruiz K, Ceballos-Villalba JC, Estrada-Mata AG, Alvarado Rodríguez C, Arauz-Peña G. Colorectal cancer: a review. Int J Res Med Sci 2017;5:4667. doi:[10.18203/2320-6012.ijrms20174914](https://doi.org/10.18203/2320-6012.ijrms20174914)
11. Juretić A, Fröbe A, Daković N, Marić Brožić J, Beketić-Orešković L. Colorectal cancer treatment: an introduction. Rad Hrvatske akademije znanosti i umjetnosti: Medicinske znanosti 2017;5:47-54.
12. Davidov DN. Oxaliplatin/5-fluorouracil/leucovorin in the treatment of patients with metastatic colorectal cancer. Journal of IMAB-Annual Proceeding (Scientific Papers) 2013;19:476-80.
13. Delavari M, Dalimi A, Ghaffarifar F, Sadraei J. Cytotoxic effects of 5-fluorouracil on Leishmania major promastigotes and induction of apoptosis in the parasite. Scientific Journal of Ilam University of Medical Sciences 2014;21:34-42.[Persian].
14. Thomas SA, Grami Z, Mehta S, Patel K. Adverse effects of 5-fluorouracil: focus on rare side effects. Cancer Cell & Microenvironment 2016;3:1-4 doi: [10.14800/ccm.1266](https://doi.org/10.14800/ccm.1266)
15. Mahmoudi M, Mohammadi S, Shahidi S. Antinociceptive Effect of Hydroalcoholic Leaf Extract of Hedera helix in Male Rat. Avicenna J Clin Med 2013;20:119-125.[Persian].
16. Mirzaei M, Babaloo F. Air pollution effects on anatomical structure of English ivy (Hedera helix L.) Quarterly journal of Development Biology 2009;1:41-7.[Persian].
17. Roșca-Casian O, Mircea C, Vlase L, Gheldiu AM, Teuca DT, Pârvu M. Chemical composition and antifungal activity of Hedera helix leaf ethanolic extract. Acta Biologica Hungarica 2017;68:196-207. doi:[10.1556/018.68.2017.2.7](https://doi.org/10.1556/018.68.2017.2.7)
18. Lutsenko YU, Bylka WI, Matlawska I, Darmohray RO. Hedera helix as a medicinal plant. Herba Polonica 2010;56:83-96.
19. Al-Snafi AE. Pharmacological and therapeutic activities of Hedera helix-A review. IOSR J. Pharm. 2018;8:41-53.
20. Shahbazi R, Davoodi H, Esmaili S. The anticancer effects of flavonoids: involvement of PI3K/Akt signaling pathway. Iranian Journal of Nutrition Sciences & Food Technology 2013;7:1-10.[Persian].
21. Sherry M, Charcosset C, Fessi H, Greige-Gerges H. Essential oils encapsulated in liposomes: a review. J Liposome Res. 2013;23:268-75. doi:[10.3109/08982104.2013.819888](https://doi.org/10.3109/08982104.2013.819888)
22. Majdzadeh M, Rezaei Zarchi S, Movahedpour AA, Shahi Malmir H, Sasani E, Haghirsadat BF. A new strategy in improving therapeutic indexes of medicinal herbs: preparation and characterization of nano-liposomes containing Mentha piperita essential oil. SSU_Journals 2018;25:853-64.[Persian].
23. Sahoo SK, Dilnawaz F, Krishnakumar S. Nanotechnology in ocular drug delivery. Drug discovery today. Elsevier; 2008;13:144-51. doi:[10.1016/j.drudis.2007.10.021](https://doi.org/10.1016/j.drudis.2007.10.021)
24. Di Marzio L, Marianelli C, Petrone M, Rinaldi F, Carafa M. Novel pH-sensitive non-ionic surfactant vesicles: comparison between Tween 21 and Tween 20. Colloids and Surfaces B: Biointerfaces. Elsevier; 2011;82:18-24. doi:[10.1016/j.colsurfb.2010.08.004](https://doi.org/10.1016/j.colsurfb.2010.08.004)
25. Mahale NB, Thakkar PD, Mali RG, Walunj DR, Chaudhari SR. Niosomes: novel sustained release nonionic stable vesicular systems—an overview. Advances in colloid and interface science. 2012;183:46-54. doi:[10.1016/j.cis.2012.08.002](https://doi.org/10.1016/j.cis.2012.08.002)
26. Shahi Malmir H, Kalantar SM, Sasani E, Asgari M, Majdzadeh M, Haghirsadat BF. Synthesis and optimization of niosomal carriers containing doxorubicin in order to achieve a final formulation with high potential in cancer cells temperature and acidity. SSU_Journals. 2019;26:879-94.[Persian].
27. Bahrami-Banan F, Hasan Sheikhha M, Ghasemi N, Majdzadeh M, Haghirsadat BF. Preparation and Study of Nano-Niosomes Containing Doxorubicin and Evaluation of its Toxicity on Acute Myeloblastic Leukemia Cell Line KG-1. Journal of Payavard Salamat 2018;12:309-323.[Persian].
28. Mohamed OA, El-Ashmoony MM, Elgazayerly ON. Niosome-encapsulated clomipramine for transdermal controlled delivery. Int J Pharm Pharm Sci 2014;6:567-75.
29. Ghanbarzadeh B, Pezesky A, Hamishehkar H, Moghadam M. Vitamin A palmitate-loaded nanoliposomes: study of particle size, zeta potential, efficiency and stability of encapsulation. Iranian Food Science and Technology Research Journal 2016;12:261-75.[Persian].
30. Dharashivkar S, Sahasrabuddhe S, Saoji A. Effect of few formulation variables on entrapment efficiency of silver sulfadiazine niosomes World Journal of Pharmacy and Pharmaceutical Sciences 2014;3:692-701.
31. Haghirsadat F, Amoabediny G, Sheikhha MH, Zandieh-douabi B, Naderinezhad S, Helder MN, Forouzanfar T. New liposomal doxorubicin nanoformulation for osteosarcoma: drug release kinetic study based on thermo and pH sensitivity, chemical biology & drug design 2017;90:368-79. doi:[10.1111/cbdd.1295](https://doi.org/10.1111/cbdd.1295)
32. Sasani E, Shahi Malmir H, Daneshmand F, Majdzadeh M, Haghirsadat BF. A new study on synthesize and optimization of PEGylated LipoNiosomal nanocarriers containing curcumin for use in cancer chemotherapy. SSU_Journals 2018;26:528-41.[Persian].
33. Moosavizadeh SM, Baghiani M, Majdzadeh M, Haghirsadat F, Moosavizadeh SM. Experimental study: experimental evaluation of phospholipid system containing doxorubicin HCL for use in chemotherapy. SSU_Journals. 2019 Mar 15;26:945-56.[Persian].
34. Honary S, Zahir F. Effect of zeta potential on the properties of nano-drug delivery systems-a review (Part 2). Tropical Journal of Pharmaceutical Research. 2013;12:265-73. doi:[10.4314/tjpr.v12i2.19](https://doi.org/10.4314/tjpr.v12i2.19)
35. Zhao W, Song Zhuang X-RQ. Comparative study of the in vitro and in vivo characteristics of cationic and neutral liposomes. International journal of nanomedicine. Dove Press; 2011;6:3087. doi:[10.2147%2FIJN.S25399](https://doi.org/10.2147%2FIJN.S25399)
36. Danhier F, Feron O, Préat V. To exploit the tumor microenvironment: passive and active tumor targeting of nanocarriers for anti-cancer drug delivery. Journal of Controlled Release. Elsevier; 2010;148:135-46. doi:[10.1016/j.jconrel.2010.08.027](https://doi.org/10.1016/j.jconrel.2010.08.027)
37. Haghirsadat B F, Naderinezhad S, Amoabediny G, Montazeri F, Zandieh Doulabi B. Evaluation of the effects of surface charge on cytotoxicity of liposomal Doxorubicin on bone cancer cell line (Osteosarcoma). Daneshvar Medicine 2018;25:19-26.[Persian].
38. Valenti D, De Logu A, Loy G, et al. Liposome-incorporated santolina insularis essential oil: preparation, characterization and in vitro antiviral activity. J Liposome Res 2001;11:73-90. doi:[10.1081/LPR-100103171](https://doi.org/10.1081/LPR-100103171)
39. Detoni CB, Hohlemweger SVA, Sampaio C, Barros TF. Essential oil from Zanthoxylum tingoassuiba loaded into multilamellar liposomes useful as antimicrobial agents. J Microencapsul 2009;26:684-91. doi:[10.1080/02652040802661887](https://doi.org/10.1080/02652040802661887)
40. Celia C, Trapasso E, Locatelli M, Navarra M, Ventura CA, Wolfram J, Carafa M, Morittu VM, Britti D, Di Marzio L PD. Anticancer activity of liposomal bergamot essential oil (BEO) on human neuroblastoma cells. Colloids Surf B Biointerfaces 2013;112:548-53. doi:[10.1016/j.colsurfb.2013.09.017](https://doi.org/10.1016/j.colsurfb.2013.09.017)
41. Tao F, Hill L, Peng Y, Gomes C. Synthesis and characterization of β-cyclodextrin inclusion complexes of thymol and thyme oil for antimicrobial delivery applications. LWT-Food Sci Technol 2014;59:247-55. doi:[10.1016/j.lwt.2014.05.037](https://doi.org/10.1016/j.lwt.2014.05.037)
42. Haghjoo S, Ghanbarzadeh B, Hamishehkar H, Asnaashari S, Dehghannia J. Evaluation of colloidal and antioxidant properties of nano liposomes containing nettle extract. Innov Food Technol. 2015;2:11-23.[Persian].

43. Sahra Bashiri, Ghanbarzadeh B, Hamishekar H, Dehghannya J. Beta-Carotene loaded nanoliposome: effects of gamma -oryzanol on particle size stability and encapsulation. *J Res Innov Food Sci Technol.* 2015;4:365-82.[Persian].
44. Ebrahimi Khoushi M, Khosravi darani K, Hoseini H, Arabi S, Kamali Fonoud R, Kouhi Kamali P. Production of nanoliposomes containing essential oil of Boiss Zatariamultiflora by response surface method. *Nano Scale* 2014;1:119-28.[Persian].
45. Cui H, Zhao C, Lin L. The specific antibacterial activity of liposome-encapsulated Clove oil and its application in tofu. *Food Control.* 2015;56:128-34. doi:[10.1016%2Fj.foodcont.2015.03.026](https://doi.org/10.1016%2Fj.foodcont.2015.03.026)
46. Haghirsadat F, Azhdari M, Kalantar SM, Nadernezhad S, Teymorizadeh K, Yazdani M, et al. Strategy of Improvements in the therapeutic index of medicinal herbs of Iranianin digenous: Synthesis and characterization of phospholipid lipid-based vesicles in incorporated Trachyspermum copticum. *J Shahid Sadoughi Univ Med Sci* 2016;24:468-78.[Persian].
47. Gharenaghadeh S, Samadlouie HR, Sowti M, Hamisekar H, Mokaram RR. Evaluation of the antimicrobial and antioxidant properties of Salvia essential oil nano liposome (*Salvia multicaulis*). *JFST* 2017;14:271-82.[Persian]
48. Barakat F, Aboee-Mehrizi F, Haghirsadat B F, Dehghani Ashkezari M. Designing and optimization of liposomal nano-carriers containing *Nepeta persica* extract and study of its cytotoxicity on the breast cancer cell line (MCF-7). *JSSU* 2019;27:1202-15.[Persian].
49. Talei-Ardakani N, Daneshmand F, Mirhoseini M, Ebrahimpour M, Majdzadeh M. Haghirsadat BF, Fabrication and characterization of physicochemical niosomal nano-carriers containing quercetin flavonoids for therapeutic purposes, *Journal of Knowledge & Health in Basic Medical Sciences* 2020;15: doi:[10.22100/jkh.v15i1.2329](https://doi.org/10.22100/jkh.v15i1.2329)



Fabrication of Niosomal Nano-Carriers Containing Aqueous Extract of Hedera Helix and Comparison of Toxicity of Free Extract and Niosome Extract On HT29 Colorectal Cancer Cell Line

Fatemeh Parnian (M.Sc.)¹, Seyed Hossein Hekmati-Moghaddam (Ph.D.)², Mohammad Majdizadeh (M.Sc.)³, Ali Jebali (Ph.D.)⁴, Bibi Fatemeh Haghirsadat (Ph.D.)^{5,6*}

1- Dept. of Medical Biotechnology, Shahid Sadoughi University of Medical Sciences, Yazd, Iran.

2- Dept. of Laboratory Sciences, School of Paramedicine, Shahid Sadoughi University of Medical Sciences, Yazd, Iran.

3- Nano-Biotech Foresight Company Biotechnology Campus, Science & Technology Park of Yazd, Yazd, Iran.

4- Dept. of Laboratory Sciences, School of Paramedicine, Shahid Sadoughi University of Medical Sciences, Yazd, Iran.

5- Medical Nanotechnology & Tissue Engineering Research Center, Yazd Reproductive Sciences Institute, Shahid Sadoughi University of Medical Sciences, Yazd, Iran.

6- Dept. of Advanced Medical Sciences and Technologies, School of Paramedicine, Shahid Sadoughi University of Medical Sciences, Yazd, Iran.

Received: 18 July 2020, **Accepted:** 28 November 2020

Abstract:

Introduction: Niosome is a lipid carrier that can resolves some of the challenges facing the delivery of herbal medicines to tissues. The aim of the present study is to fabricate and evaluate the physicochemical properties of niosomal carriers containing *Hedera helix* extracts and evaluation of its toxicity to the HT29 cell line of colon cancer.

Methods: Two niosomal formulations F0 (30% cholesterol and 70% tween60) and F1 (30% cholesterol and 70% spin60) containing extract of *Hedera helix* were made using the thin film method. Then, according to the amount of drug loading, one of the formulations was selected. The pattern of drug release under normal and cancerous cell conditions, size and surface charge of the nanoparticles (using DLS) and the appearance of the nanoparticles (using SEM) of the selected formulation were investigated. Finally, the toxicity of the niosomal system containing extracts and free extracts on HT29 cell line was evaluated by MTT assay and niosomal system entry into HT29 cells was evaluated by system and cell staining.

Results: Extract loading percentage, size and zeta potential for the selected formulation (F1) containing the extract were 95/43±2/43%, 132/5nm and -41/47±2/69mV, respectively. Release of the extract from the niosomal system is slow within 48 hours in normal and cancerous cell conditions. The appearance of the nanoparticles was smooth and spherical and extract niosomal had more toxicity to HT29 cell line colon cancer than free extract.

Conclusion: The niosomal formulation of this study can be recommended for further research in colon cancer with respect to its physicochemical properties.

Keywords: Niosome, Nano-carrier, Colon cancer, HT29 cell line, *Hedera helix* extract.

Conflict of Interest: No

*Corresponding author: B.F. Haghirsadat, Email: Fhaghrosadat@gmail.com

Citation: Parnian F, Hekmati-Moghadam SH, Majdizadeh M, Jebali A, Haghirsadat BF. Fabrication of niosomal nano-carriers containing aqueous extract of *hedera helix* and comparison of toxicity of free extract and niosome extract on HT29 colorectal cancer cell line. Journal of Knowledge & Health in Basic Medical Sciences 2020;15(3):31-45.